

Mathematik und Simulation



Ebene und räumliche Kurven zur
Modellierung von Objektgrenzen

2

Prof. Dr. Thomas Schneider

Stand: 25.04.2023

- 1 Motivation für die Befassung mit Kurven
- 2 Erinnerung an Funktionen und Ableitungen
- 3 Ebene Kurven
- 4 Freiform-Kurven
- 5 Bézier-Kurven
- 6 Bézier-Splines

Bemerkung

zum Foliensatz

Bemerkung zum Foliensatz

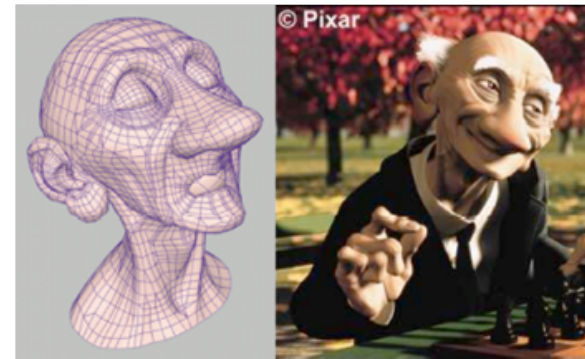
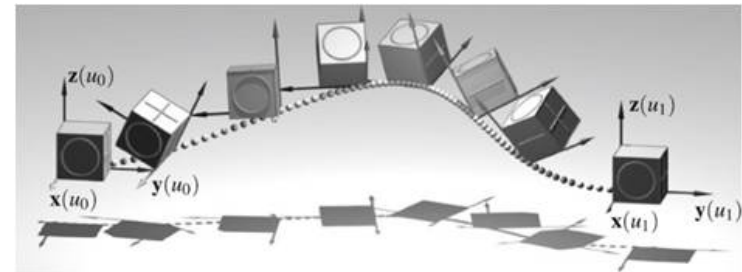
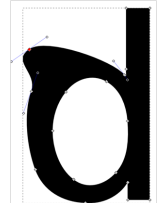
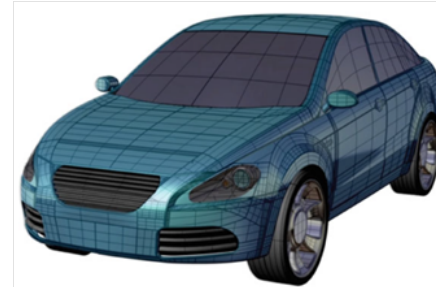
Der Foliensatz zu diesem Kapitel wurde in Zusammenarbeit zwischen Prof. Dr. R. Lasowski und Prof. Dr. T. Schneider erstellt.

Kurven

Motivation – warum Kurven- (und Flächen-)Design?

Anwendungsfelder

- Produktdesign
- Autoindustrie
- Schriftdesign
- Pfadberechnung für Roboter
- Kamerapfad für Animationen
- Animationsfilme



Wir erinnern uns im Folgenden an einige Grundlagen aus der reellen Analysis und Differenzialrechnung.

Reellwertige Funktionen

Definition

Definition

- Eine **Abbildung** $f: D \rightarrow W$ weist **jedem** Element des Definitionsbereichs D **genau ein** Element des Wertebereichs W zu.
- Oft geschieht dies über eine sogenannte **Abbildungsvorschrift**

$$x \mapsto f(x).$$

Bemerkung

Wenn D und W Teilmengen der reellen Zahlen sind, dann nennt man eine Abbildung $f: D \rightarrow W$ auch (reellwertige) **Funktion**. Im Falle $D \subseteq \mathbb{R}$ und $W \subseteq \mathbb{R}^n$ heißt $f: D \rightarrow W$ auch **vektorwertige Funktion**.

Reellwertige Funktionen

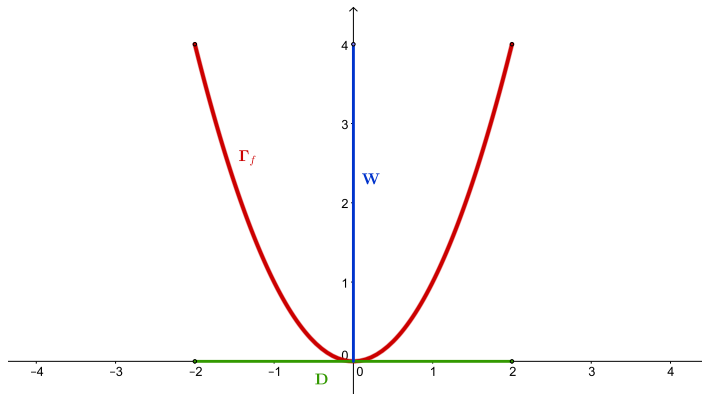
Graph einer Funktion

Definition

Die Menge $\Gamma_f := \{(x, y) \in \mathbb{R}^2 \mid y = f(x)\} = \{(x, f(x)) \in \mathbb{R}^2\}$ heißt **Graph** von f .

Beispiel

Wir betrachten die Funktion $f: [-2, 2] \rightarrow [0, 4]$, $x \mapsto x^2$ bzw. $f(x) = x^2$. Der Funktionsgraph Γ_f ist im folgenden Diagramm dargestellt:



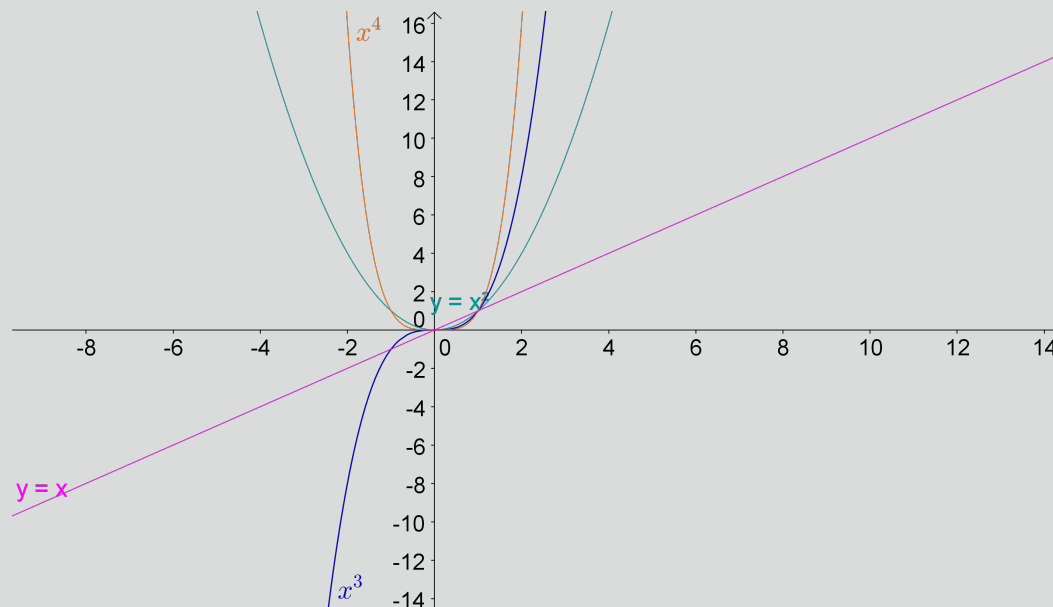
Reellwertige Funktionen

Potenzfunktionen

Vereinbarung

Wir betrachten **Potenzfunktionen** mit der Abbildungsvorschrift $x \mapsto x^n$. Vorerst sei stets $n \in \mathbb{N}$. Für **alle** $x \in \mathbb{R}$ definiert man $x^0 = 1$.

Beispiele von Funktionsgraphen



Reellwertige Funktionen

Polynome und Polynomfunktionen

Polynome

Es seien a_0, a_1, \dots, a_n reelle Zahlen. Ein Ausdruck der Form

$$f(x) = a_0 + a_1 x + a_2 x^2 + \dots a_n x^n$$

heißt reelles **Polynom** (in der Unbestimmten x). Falls $a_n \neq 0$ gilt, ist n der **Grad** des Polynoms.

Beispiel

$f(x) = 1 + 2x + 3x^2 + 7x^3$ und $g(x) = 3x^3 - 5x$ sind Polynome vom Grad 3.

Ausblick

In diesem Kapitel verwenden wir Funktionen $f: D \rightarrow W, x \mapsto f(x)$, bei denen $f(x)$ jeweils ein Polynom ist. Solche Funktionen heißen **Polynomfunktionen**.

Ableitung von Funktionen

Motivation

In der Differenzialrechnung

- untersucht man die Graphen von Funktionen auf Glattheit bzw. auf Ecken,
- beschreibt man, wie Funktionen ansteigen bzw. abfallen,
- beschreibt man, wie stark Funktionsgraphen gekrümmt sind.

Bemerkung

Ende des 17. Jahrhunderts entwickelten Sir Isaac Newton und Gottfried W. Leibniz unabhängig voneinander den Differenzialkalkül. Newton erhielt die **Geschwindigkeit** als Ableitung der Bewegung nach der Zeit und die **Beschleunigung** als Ableitung der Geschwindigkeit nach der Zeit.

Ableitung von Funktionen

Grundidee

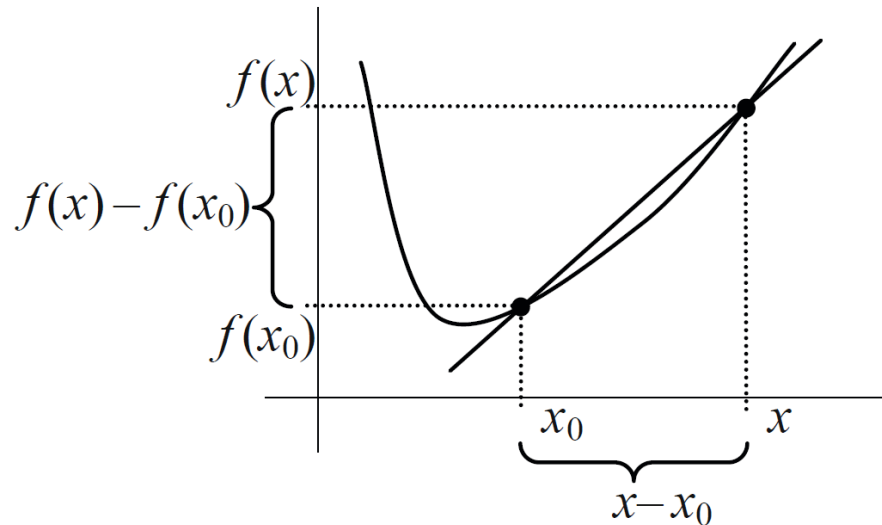


Abbildung: Sekantensteigung und Differenzenquotient

Sekantensteigung

Betrachten wir die Gerade (Sekante) durch die Punkte $(x, f(x))$ und $(x_0, f(x_0))$, so gibt der **Differenzenquotient** $\frac{f(x) - f(x_0)}{x - x_0}$, $x \neq x_0$ die Steigung dieser Geraden.

Ableitung von Funktionen

Definition von Differenzierbarkeit und Ableitung

Definition der Ableitung

- Sei $f: D \rightarrow W$ eine reellwertige Funktion (mit offenem Definitionsbereich) und sei $x_0 \in D$.
- Dann heißt f heißt **differenzierbar an der Stelle** x_0 , falls der Grenzwert:

$$\lim_{x \rightarrow x_0} \frac{f(x) - f(x_0)}{x - x_0}$$

existiert.

- In diesem Fall nennen wir diesen Grenzwert **Ableitung von f an der Stelle x_0** und bezeichnen ihn mit den Symbolen $f'(x_0)$ oder $\frac{df}{dx}(x_0)$.

Ableitung von Funktionen

Definition von Differenzierbarkeit und Ableitung

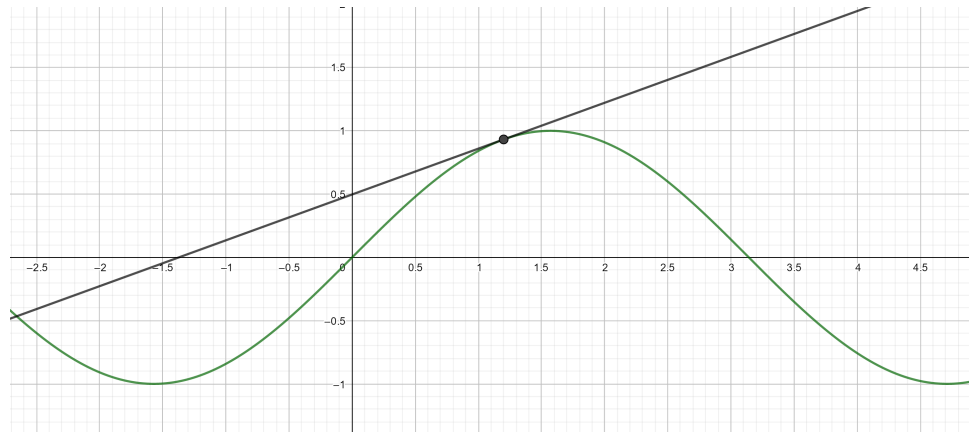
Bemerkung:

- Für $x \rightarrow x_0$ geht die **Sekantensteigung** in die **Tangentensteigung** im Punkt $(x_0, f(x_0))$ über:

$$f'(x) = \frac{dy}{dx}(x_0) = \frac{df}{dx}(x_0) = \lim_{x \rightarrow x_0} \frac{\Delta y}{\Delta x}$$

- Gleichung der Tangenten an den Graphen Γ_f der Funktion f im Punkte $(x_0, f(x_0))$:

$$y = f(x_0) + f'(x_0) \cdot (x - x_0)$$



Ableitung von Funktionen

Definition von Differenzierbarkeit und Ableitung

Beispiele:

- Sei $f(x) = c$ und sei x_0 ein beliebiger Wert:

$$f'(x_0) = \lim_{x \rightarrow x_0} \frac{f(x) - f(x_0)}{x - x_0} = \lim_{x \rightarrow x_0} \frac{c - c}{x - x_0} = \lim_{x \rightarrow x_0} 0 = 0$$

- Sei $f(x) = \frac{1}{2}x$ und sei x_0 ein beliebiger Wert:

$$f'(x_0) = \lim_{x \rightarrow x_0} \frac{f(x) - f(x_0)}{x - x_0} = \lim_{x \rightarrow x_0} \frac{\frac{1}{2}x - \frac{1}{2}x_0}{x - x_0} = \lim_{x \rightarrow x_0} \frac{\frac{1}{2}(x - x_0)}{(x - x_0)} = \lim_{x \rightarrow x_0} \frac{1}{2} = \frac{1}{2}$$

Ableitung von Funktionen

Definition von Differenzierbarkeit und Ableitung

Beispiele:

- Sei $f(x) = x^2$ und sei x_0 ein beliebiger Wert:

$$\begin{aligned} f'(x_0) &= \lim_{x \rightarrow x_0} \frac{f(x) - f(x_0)}{x - x_0} \\ &= \lim_{x \rightarrow x_0} \frac{x^2 - x_0^2}{x - x_0} \\ &= \lim_{x \rightarrow x_0} \frac{(x + x_0) \cdot (x - x_0)}{(x - x_0)} \\ &= \lim_{x \rightarrow x_0} (x + x_0) \\ &= 2x_0 \end{aligned}$$

Ableitung von Funktionen

Potenzfunktionen

Wichtiges Resultat:

Sei $f(x) = x^n$ mit $n \in \mathbb{N}$. Dann ist f überall in \mathbb{R} differenzierbar und für jeden Punkt x_0 gilt

$$f'(x_0) = n x_0^{n-1}.$$

Ableitungsfunktion

Für $f(x) = x^n$ definieren wir die sogenannte **Ableitungsfunktion** über die Abbildungsvorschrift

$$f'(x) = n x^{n-1}.$$

Ableitung von Funktionen

Weitere Beispiele

Funktion $f(x)$	Ableitung $f'(x)$
$x^a, x > 0, a \in \mathbb{R}$	$a \cdot x^{a-1}$
e^x	e^x
$\sin x$	$\cos x$
$\cos x$	$-\sin x$
$\tan x, x \neq \pi/2 + k\pi, k \in \mathbb{N}$	$1/\cos^2 x$
$\ln x, x > 0$	$1/x$

Um aus diesen Ableitungen die vieler weiterer Funktionen „zusammensetzen“ zu können, benötigt man Ableitungsregeln.

Ableitung von Funktionen

Ableitungsregeln

Ableitungsregeln

Seien f und g Funktionen, die an der Stelle $x_0 \in \mathbb{R}$ differenzierbar sind. Dann sind für $k \in \mathbb{R}$ auch die Funktionen $k \cdot f$ und $f + g$ sowie $f \cdot g$ differenzierbar und es gilt:

(a) $(f + g)'(x_0) = f'(x_0) + g'(x_0)$

(b) $(k \cdot f)'(x_0) = k \cdot f'(x_0)$

(c) $(f \cdot g)'(x_0) = f'(x_0) \cdot g(x_0) + f(x_0) \cdot g'(x_0)$ **(Produktregel)**

Ableitung von Funktionen

Ableitungsregeln: Kettenregel

Kettenregel

- Zwei differenzierbaren Funktionen f und g (mit zueinander passenden Definitionsbereichen und Wertebereichen) können „verkettet“ werden, indem die Funktion $f \circ g$ mit der Abbildungsvorschrift $x \mapsto f(g(x))$ gebildet wird.
- Deren Ableitung erhält man gemäß der sogenannten **Kettenregel**:

$$(f \circ g)'(x) = f'(g(x)) \cdot g'(x).$$

- Kurzsprechweise: „äußere Ableitung mal innere Ableitung“.

Ableitung von Funktionen

Ableitungsregeln

Ableitungsregeln: Beispiele

- Es sei $g(x) = x^7 + 25x^4$. Bestimmen Sie $g'(x)$.
- Bestimmen Sie die Ableitung der Funktion $x \mapsto (x^7 + 25x^4)^2$ mit der Kettenregel oder mit der Produktregel.

Ableitung von Funktionen

Höhere (n -te) Ableitungen

Sei f differenzierbar mit Ableitung f' . Ist f' wieder differenzierbar, dann kann man f'' , die zweite Ableitung von f bilden. Analog definiert man höhere Ableitungen $f^{(n)}$.

Beispiel

$$f(x) = x^4 + 10x^3 + 2$$

$$f'(x) = 4x^3 + 30x^2$$

$$f''(x) = 12x^2 + 60x$$

$$f'''(x) = 24x + 60$$

$$f^{(4)}(x) = 24$$

$$f^{(5)}(x) = 0$$

$$f^{(n)}(x) = 0 \text{ für alle } n \geq 5.$$

Ableitung von Funktionen

Differenzierbarkeitsklassen

Bezeichnungen

Ist f n -mal differenzierbar auf \mathbb{R} und ist die n -te Ableitung $f^{(n)} = \frac{d^n}{dx^n} f$ stetig, so heißt f **n -mal stetig differenzierbar**. Man schreibt $f \in C^n(\mathbb{R})$. Gilt dies für alle $n \in \mathbb{N}$, so schreibt man $f \in C^\infty(\mathbb{R})$.

Ableitung von Funktionen

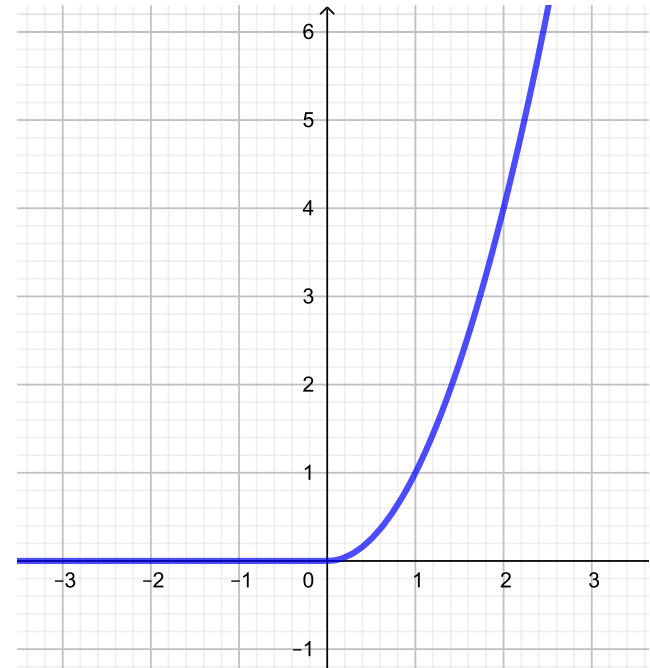
Differenzierbarkeitsklassen – Beispiel

Beispiel einer stückweise definierten Funktion:

- Für $x \leq 0$ sei $f(x) = 0$, für $x > 0$ sei $f(x) = x^2$.
- Die Funktion ist stetig im Punkte $x = 0$.
- Die Funktion hat im Punkte $x = 0$ den **linksseitigen** Ableitungswert 0 und die **rechtsseitige** Ableitung 0.
- Also ist f an der Stelle $x = 0$ differenzierbar. Für die Ableitungsfunktion gilt $f'(x) = 0$ für $x \leq 0$ und $f'(x) = 2x$ für $x > 0$.
- Die Ableitung ist stetig. Insbesondere gilt für die Stelle $x = 0$ Folgendes:

$$\lim_{x \rightarrow 0^-} f'(x) = 0 = \lim_{x \rightarrow 0^+} 2x = \lim_{x \rightarrow 0^+} f'(x).$$

- Die Funktion gehört somit zur Klasse C^1 .
- An der Stelle $x = 0$ ist der Wert der linksseitigen zweiten Ableitung gleich 0, rechts jedoch gleich 2.
- Die zweite Ableitung existiert somit nicht, die Funktion gehört **nicht** zur Klasse C^2 .



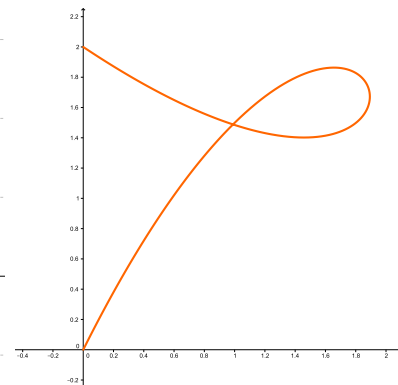
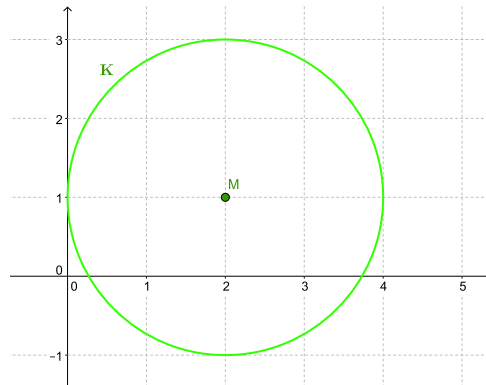
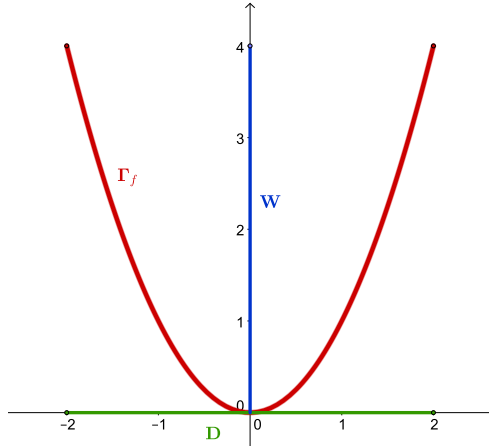
Ebene Kurven

Mathematische Darstellungen von Kurven

Beschreibungen von Kurven in der Ebene

Ebene Kurven lassen sich auf verschiedene Weisen beschreiben:

- als Graph einer Funktion
- als Lösungsmenge einer Gleichung
- mit einer Parametrisierung

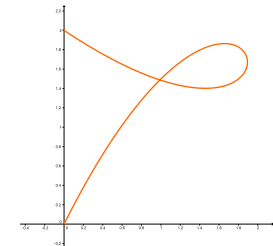
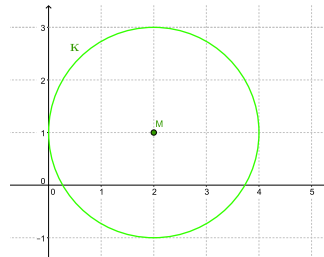
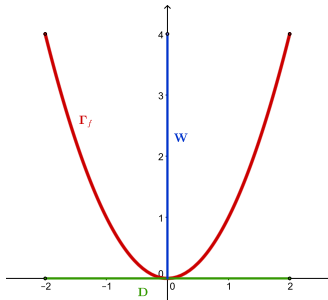


Ebene Kurven

Mathematische Darstellungen von Kurven

Darstellungsarten

- **Explizite Darstellung als Funktionsgraph:**
 $\{(x, y) \in \mathbb{R}^2 \mid y = f(x), x \in D\}$
- **Implizite Darstellung als Lösungsmenge einer Gleichung:**
 $\{(x, y) \in \mathbb{R}^2 \mid F(x, y) = 0\}$
- **Parametrisierung:**
 $\left\{ \begin{pmatrix} x(t) \\ y(t) \end{pmatrix} \in \mathbb{R}^2 \mid t \in I \right\}$



Beispiele

- $\{(x, x^2) \mid x \in [-2, 2]\}$
- $F(x, y) = (x - 2)^2 + (y - 1)^2 - 4 \rightsquigarrow \{(x, y) \in \mathbb{R}^2 \mid (x - 2)^2 + (y - 1)^2 = 4\}$
- $\begin{pmatrix} x(t) \\ y(t) \end{pmatrix} = \begin{pmatrix} 6t - 3t^2 - 3t^3 \\ 12t - 24t^2 + 14t^3 \end{pmatrix}, t \in [0, 1].$

Ebene Kurven

Mathematische Darstellungen von Kurven

Bemerkung

Auch Parameterdarstellungen von Geraden oder Geradenstücken, wie wir sie aus dem ersten Semester kennen, sind Kurvenparametrisierungen im Sinne der Definition.

Beispiel

$$\begin{aligned} p(t) &= \begin{pmatrix} 2+t \\ -3+2t \end{pmatrix} \\ &= \begin{pmatrix} 2 \\ -3 \end{pmatrix} + t \begin{pmatrix} 1 \\ 2 \end{pmatrix}, t \in I, \end{aligned}$$

wobei $I \subseteq \mathbb{R}$ ein beliebiges Intervall ist.

Ebene Kurven

Mathematische Darstellungen von Kurven

Anschlussfragen:

- Es sei weiterhin $p(t) = \begin{pmatrix} 2 \\ -3 \end{pmatrix} + t \begin{pmatrix} 1 \\ 2 \end{pmatrix}$.
- Welche Punkte erhält man, wenn man $p(0)$ bzw. $p(1)$ berechnet?
- Welche „Kurve“ ergibt sich mit der Parametrisierung

$$p(t) = \begin{pmatrix} 2 \\ -3 \end{pmatrix} + t \begin{pmatrix} 1 \\ 2 \end{pmatrix}, t \in [0, 1]$$

Ebene Kurven

Mathematische Darstellungen von Kurven

Begriffe:

- Eine **Parametrisierung** gibt für jeden Wert t eines Definitionsintervalls den **Positionsvektor** $p(t) = \begin{pmatrix} x(t) \\ y(t) \end{pmatrix}$ an.
- Durch **Ableiten** gewinnt man hieraus den **Geschwindigkeitsvektor** oder **Tangentenvektor**

$$v(t) = p'(t) = \begin{pmatrix} x'(t) \\ y'(t) \end{pmatrix}$$

- Die **Momentangeschwindigkeit** $s(t)$, die am Tachometer angezeigt werden könnte, ist gegeben durch
$$s(t) = \|v(t)\| = \sqrt{(x'(t))^2 + (y'(t))^2}.$$
- Den **Beschleunigungsvektor** $a(t)$ erhält man über
$$a(t) = v'(t) = p''(t) = \begin{pmatrix} x''(t) \\ y''(t) \end{pmatrix}.$$

Hörsaalübung:

Wir stellen einen Teil der Normalparabel als parametrisierte Kurve dar:

$$p: [-2, 2] \rightarrow \mathbb{R}^2, p(t) = \begin{pmatrix} t \\ t^2 \end{pmatrix}.$$

- Berechnen Sie $v(t) = p'(t)$ und $a(t) = v'(t)$.
- Berechnen Sie $p(0)$, $p(1)$, $v(0)$ und $v(1)$.
- Zeichnen Sie $v(0)$ und $v(1)$ an die entsprechenden Punkte der Kurve.

Ebene Kurven

Mathematische Darstellungen von Kurven

Hörsaalübung – Lösung

Parametrisierte Kurve:

$$p: [-2, 2] \rightarrow \mathbb{R}^2, p(t) = \begin{pmatrix} t \\ t^2 \end{pmatrix}.$$

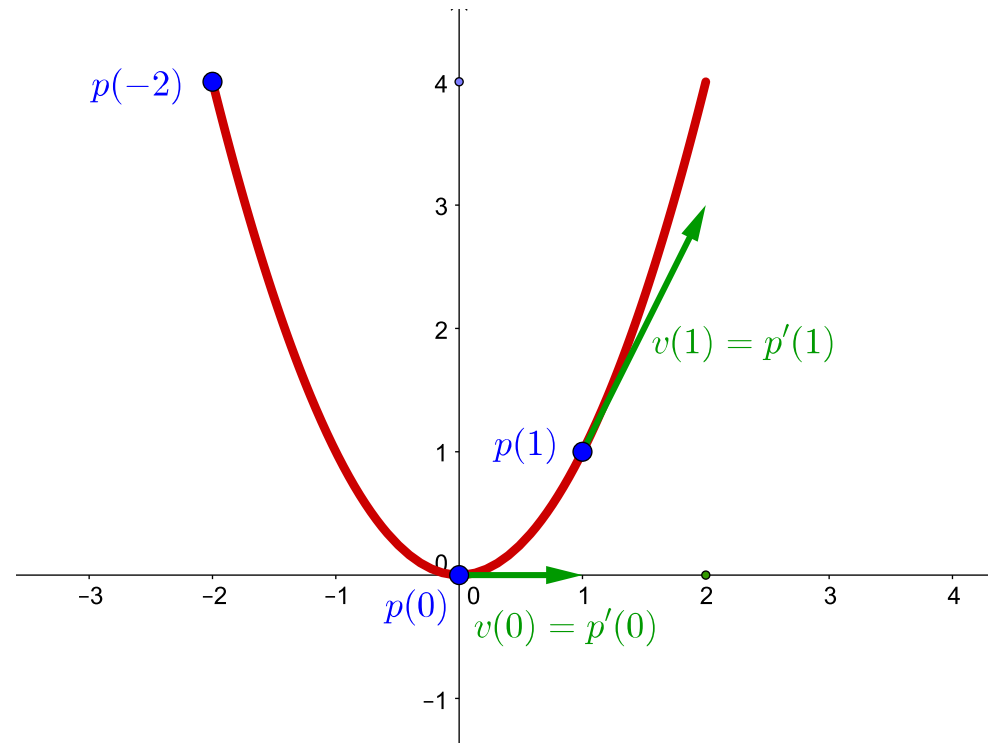
- Es ist $v(t) = p'(t) = \begin{pmatrix} 1 \\ 2t \end{pmatrix}$
und $a(t) = v'(t) = \begin{pmatrix} 0 \\ 2 \end{pmatrix}$.
- Einsetzen der Werte $t = 0$
bzw. $t = 1$ ergibt

$$p(0) = \begin{pmatrix} 0 \\ 0 \end{pmatrix},$$

$$p(1) = \begin{pmatrix} 1 \\ 1 \end{pmatrix},$$

$$v(0) = \begin{pmatrix} 1 \\ 0 \end{pmatrix},$$

$$v(1) = \begin{pmatrix} 1 \\ 2 \end{pmatrix}.$$



Anwendungen von Kurven

Anforderungen an das Design

Anwendungsfelder

- Es muss möglich sein, möglichst freie Formen zu zeichnen
- Kurven sollen gezielt veränderbar sein, das Editieren soll
 - intuitiv für Benutzer sein,
 - nur lokale Auswirkungen haben.
- Kurven sollen möglichst glatt sein (d.h. ohne Knicke) sein.

Anwendungen von Kurven

Modellierung einer glatten Kurve

Splines

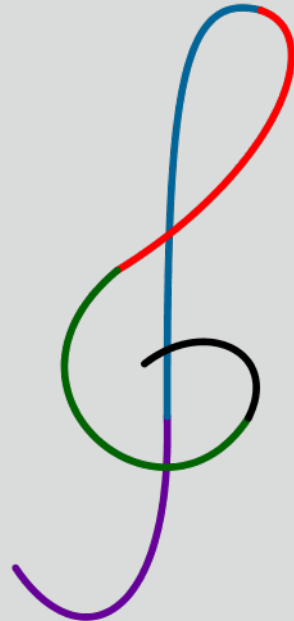
- Modellierung einer glatten Kurve erfolgt durch sogenannte Splines
- Splines = biegsame Latten (Schiffbau)
 - siehe Link <http://pages.cs.wisc.edu/deboor/draftspline.html>

Anwendungen von Kurven

Beschreibung komplizierter Formen

Divide et Impera (Teile und Herrsche)

- Kurve wird in einzelne Segmente unterteilt, und jedes Segment hat eine einfache Darstellung



Ebene Kurven

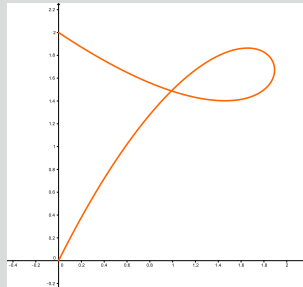
Parametrische Standardform von Polynomkurven

Parametrische Standardform

- $\mathbf{f}(t) = \begin{pmatrix} x(t) \\ y(t) \end{pmatrix} = \begin{pmatrix} a_{0x} + a_{1x} t + a_{2x} t^2 + \dots + a_{nx} t^n \\ a_{0y} + a_{1y} t + a_{2y} t^2 + \dots + a_{ny} t^n \end{pmatrix} = \sum_{i=0}^n \mathbf{a}_i t^i \in \mathbb{R}^2, t \in I$

Beispiel

- $\mathbf{f}(t) = \begin{pmatrix} x(t) \\ y(t) \end{pmatrix} = \begin{pmatrix} 6t - 3t^2 - 3t^3 \\ 12t - 24t^2 + 14t^3 \end{pmatrix} = \begin{pmatrix} 6 \\ 12 \end{pmatrix} t + \begin{pmatrix} -3 \\ -24 \end{pmatrix} t^2 + \begin{pmatrix} -3 \\ 14 \end{pmatrix} t^3, t \in [0, 1].$



- Standardform **nicht intuitiv** (Veränderung eines Koeffizienten \mathbf{a}_i hat keine unmittelbar einsichtige geometrische Bedeutung)
- Demo Geogebra

Kontrollpunkte als Koeffizienten

- Wünschenswert sind **Kontrollpunkte**, die manipuliert werden anstatt der Koeffizienten \mathbf{a}_i
- \rightsquigarrow neue Kurvendarstellung, in die die Kontrollpunkte C_i eingehen:

$$\begin{aligned}\mathbf{f}(t) &= \begin{pmatrix} x(t) \\ y(t) \end{pmatrix} \\ &= \sum_{i=0}^n C_i b_i(t) \\ &= C_0 b_0(t) + C_1 b_1(t) + \dots + C_n b_n(t) \\ &= \begin{pmatrix} C_{0x} \\ C_{0y} \end{pmatrix} b_0(t) + \begin{pmatrix} C_{1x} \\ C_{1y} \end{pmatrix} b_1(t) + \dots + \begin{pmatrix} C_{nx} \\ C_{ny} \end{pmatrix} b_n(t) \\ &= \begin{pmatrix} C_{0x} b_0(t) + C_{1x} b_1(t) + \dots + C_{nx} b_n(t) \\ C_{0y} b_0(t) + C_{1y} b_1(t) + \dots + C_{ny} b_n(t) \end{pmatrix} \in \mathbb{R}^2, t \in I\end{aligned}$$

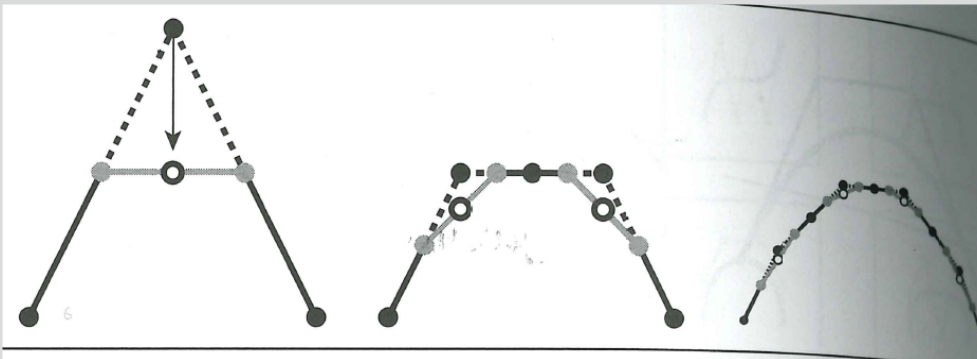
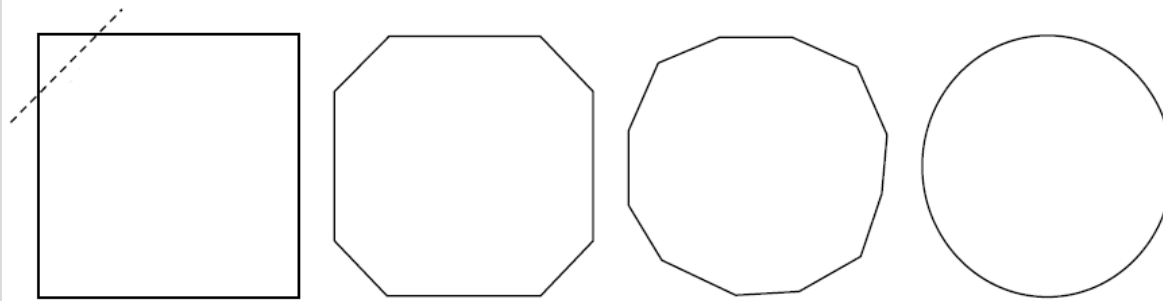
- Hierin sind $b_i(t)$ Basisfunktionen (Computer Graphik: Blending Functions), die noch zu bestimmen sind.

Ebene Kurven

Unterteilungs-Algorithmus (Subdivision)

Intuitive geometrische Konstruktion

- Prinzip: Wiederholend Ecken eines Kontrollpolygons abschneiden

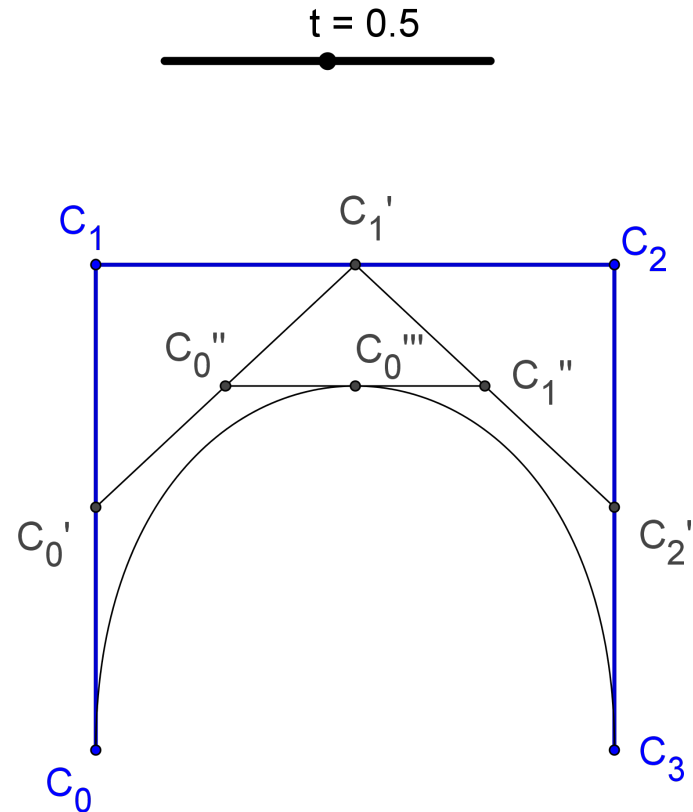


Vom Polygon zu einer glatten Kurve

Intuitive geometrische Konstruktion („Ecken abschneiden“)

De-Casteljau-Algorithmus

- Kontrollpunkte (C_0, C_1, C_2, C_3) werden verbunden: Kontrollpolygon.
- Wählen Sie ein $t \in [0, 1]$.
- Lineare Interpolation zwischen den Kontrollpunkten entsprechend dem Parameterwert t ergibt auf jeder Polygonseite einen neuen Punkt.
- Die 3 neuen Punkte (C_0^1, C_1^1, C_2^1) werden zu einem neuen Polygon verbunden.
- Erneute lineare Interpolation ergibt 2 neue Punkte (C_0^2, C_1^2)
- Erneute lineare Interpolation ergibt 1 neuen Punkt (C_0^3), der auf einer kubischen glatten Kurve liegt (s. Bézier-Kurve)



Vom Polygon zu einer glatten Kurve

Intuitive geometrische Konstruktion („Ecken abschneiden“)

Unterteilung/Subdivision

- Das ursprüngliche Kontrollpolygon durch C_0, C_1, C_2, C_3 wurde ersetzt durch einen neuen Polygonzug, der sich in 2 Kontrollpolygone unterteilt:
 - C_0, C_0^1, C_0^2, C_0^3 . (rot)
 - C_0^3, C_1^2, C_2^1, C_3 . (grün)
- Wiederholt man den Algorithmus für die jeweiligen 2 Kontrollpolygone, so unterteilt man weiter
- Die Kurve wird immer mehr angenähert

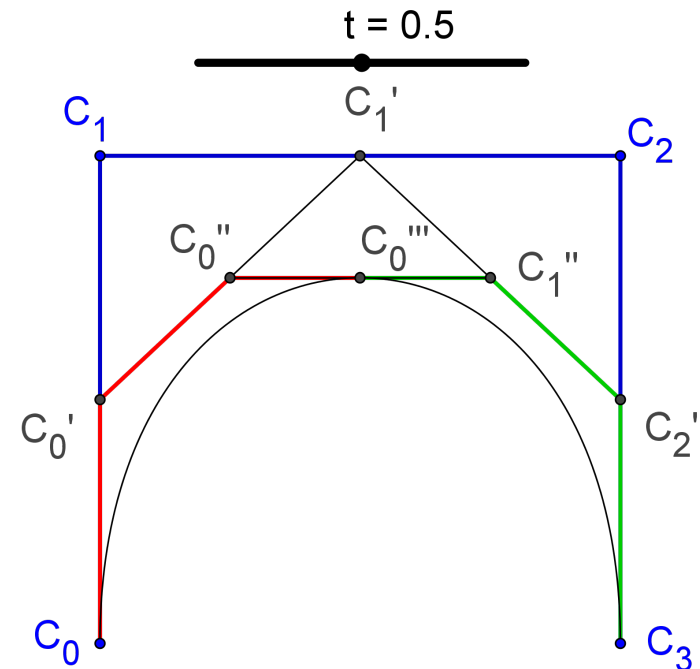


Abbildung: Unterteilung des Kontrollpolygons in 2 Kontrollpolygone: rot und grün.

De-Casteljau-Algorithmus: Schritt für Schritt

Vorbereitung: Lineare Interpolation

Verbindungsstrecke zweier Punkte

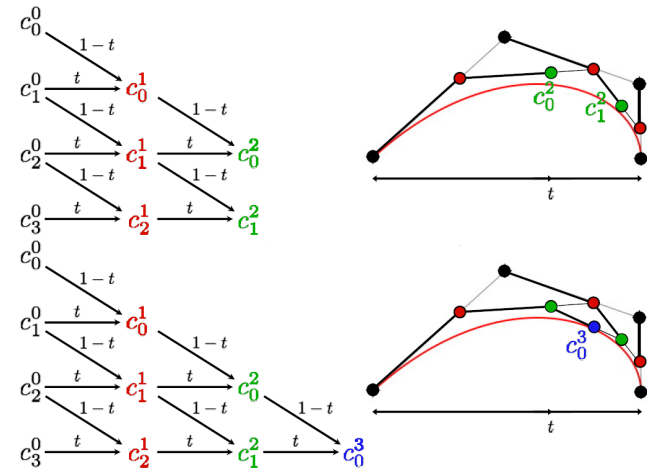
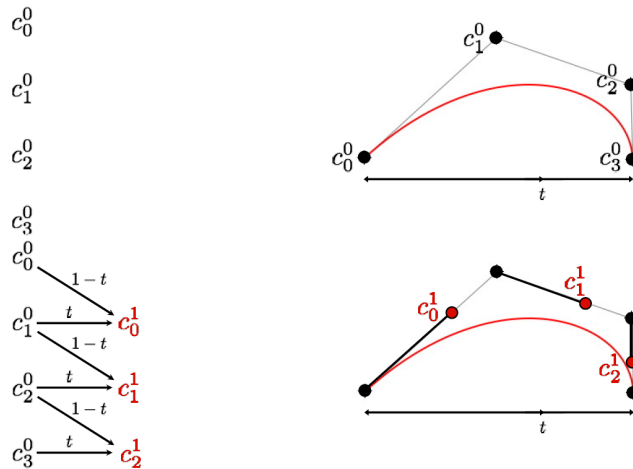
Wenn Punkte A und B gegeben sind, so erhält man deren Verbindungsstrecke wie folgt:

- Stützvektor: A
- Richtungsvektor: $B - A$
- Parametergleichung: $X(t) = A + t(B - A)$, $t \in ?$
- $t = 0 \rightsquigarrow X(0) = A$, $t = 1 \rightsquigarrow X(1) = A + B - A = B$
- $\rightsquigarrow X(t) = A + t(B - A)$, $t \in [0, 1]$
- Umformung:

$$X(t) = A - tA + tB = (1 - t)A + tB.$$

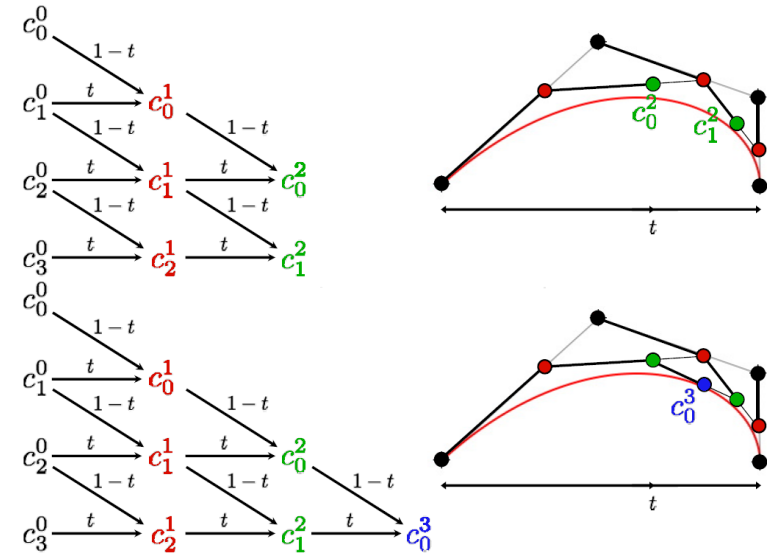
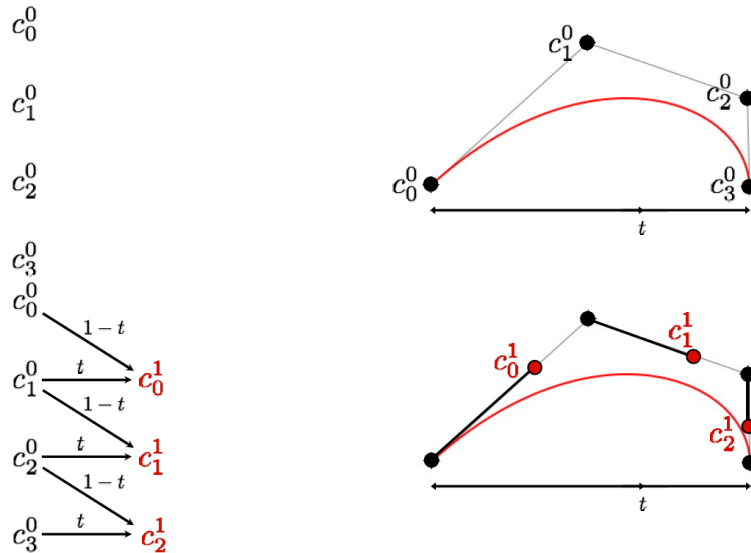
De-Casteljau-Algorithmus: Schritt für Schritt

$$\begin{array}{l}
 C_0^0 \\
 C_1^0 \\
 C_2^0 \\
 C_3^0
 \end{array}
 \begin{array}{l}
 \rightarrow C_0^1 = C_0^0 + t(C_1^0 - C_0^0) \\
 \rightarrow C_1^1 = C_1^0 + t(C_2^0 - C_1^0) \\
 \rightarrow C_2^1 = C_2^0 + t(C_3^0 - C_2^0)
 \end{array}
 \begin{array}{l}
 \rightarrow C_0^1 = (1-t)C_0^0 + tC_1^0 \\
 \rightarrow C_1^1 = (1-t)C_1^0 + tC_2^0 \\
 \rightarrow C_2^1 = (1-t)C_2^0 + tC_3^0
 \end{array}
 \begin{array}{l}
 \rightarrow C_0^2 = (1-t)C_0^1 + tC_1^1 \\
 \rightarrow C_1^2 = (1-t)C_1^1 + tC_2^1
 \end{array}
 \rightarrow C_0^3 = (1-t)C_0^2 + tC_1^2$$



De-Casteljau-Algorithmus: Schritt für Schritt

Grafiken der vorigen Folie



Bézier-Kurve

Über den De-Casteljau-Algorithmus zur Bézier-Form

Rückwärts-Einsetzen:

•

$$\begin{aligned} C_0^3(t) &= (1-t) C_0^2 + t C_1^2 \\ &= (1-t) \underbrace{[(1-t) C_0^1 + t C_1^1]}_{C_0^2} + t \underbrace{[(1-t) C_1^1 + t C_2^1]}_{C_1^2} \\ &= (1-t) \left[(1-t) \underbrace{[(1-t) C_0^0 + t C_1^0]}_{C_0^1} + t \underbrace{[(1-t) C_1^0 + t C_2^0]}_{C_1^1} \right] + \\ &\quad \underbrace{t \left[(1-t) \underbrace{[(1-t) C_1^0 + t C_2^0]}_{C_1^1} + t \underbrace{[(1-t) C_2^0 + t C_3^0]}_{C_2^1} \right]}_{C_1^2} \\ &= \dots (1-t)^3 C_0^0 + 3(1-t)^2 t C_1^0 + 3(1-t) t^2 C_2^0 + t^3 C_3^0. \end{aligned}$$

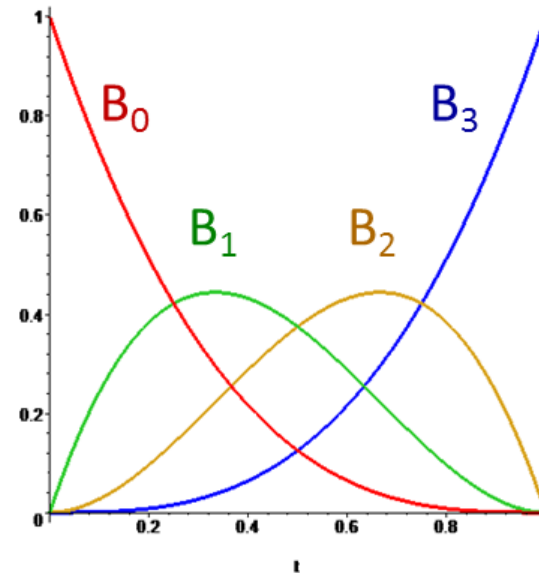
Bézier-Kurven

Allgemeine Form einer kubischen Bézier-Kurve

$$\begin{aligned} \mathbf{f}(t) &= (1-t)^3 \mathbf{C}_0 + 3(1-t)^2 t \mathbf{C}_1 + 3(1-t)t^2 \mathbf{C}_2 + t^3 \mathbf{C}_3 \\ &= B_0(t) \mathbf{C}_0 + B_1(t) \mathbf{C}_1 + B_2(t) \mathbf{C}_2 + B_3(t) \mathbf{C}_3 \end{aligned}$$

Bézier-Basisfunktionen

- $B_0(t) = (1-t)^3$
- $B_1(t) = 3t(1-t)^2$
- $B_2(t) = 3t^2(1-t)$
- $B_3(t) = t^3$



Bézier-Kurve

Matrixform

Bézierkurven können unter Verwendung von Matrizen dargestellt werden. Im Folgenden ist die Parametrisierung einer kubischen Bézierform mit Matrixnotation angegeben:

$$\mathbf{f}(t) = \begin{pmatrix} 1 & t & t^2 & t^3 \end{pmatrix} \begin{pmatrix} 1 & 0 & 0 & 0 \\ -3 & 3 & 0 & 0 \\ 3 & -6 & 3 & 0 \\ -1 & 3 & -3 & 1 \end{pmatrix} \begin{pmatrix} C_0 \\ C_1 \\ C_2 \\ C_3 \end{pmatrix}$$

Bedeutung der 4×4 Matrix

- Spalten der Matrix: Koeffizienten der Bézier - Basisfunktionen
- Bequeme Umformung zwischen Standard- und Bézier-Form und umgekehrt.

Bézier-Kurve

Matrixform

Matrixform einer kubischen Bézierkurve:

$$\mathbf{f}(t) = [1 \quad t \quad t^2 \quad t^3] \begin{pmatrix} 1 & 0 & 0 & 0 \\ -3 & 3 & 0 & 0 \\ 3 & -6 & 3 & 0 \\ -1 & 3 & -3 & 1 \end{pmatrix} \cdot \begin{pmatrix} C_0 \\ C_1 \\ C_2 \\ C_3 \end{pmatrix}$$

Multiplikation des links stehenden Zeilenvektors und der Matrix ergibt ...

$$\begin{aligned} \mathbf{f}(t) &= [(1 - 3t + 3t^2 - t^3) \quad (3t - 6t^2 + 3t^3) \quad (3t^2 - 3t^3) \quad t^3] \begin{pmatrix} C_0 \\ C_1 \\ C_2 \\ C_3 \end{pmatrix} \\ &= (1 - 3t + 3t^2 - t^3) C_0 + (3t - 6t^2 + 3t^3) C_1 + (3t^2 - 3t^3) C_2 + t^3 C_3. \end{aligned}$$

...die Bézierform.

Multiplikation der Matrix und des rechts stehenden Spaltenvektors ergibt ...

$$\begin{aligned} \mathbf{f}(t) &= [1 \quad t \quad t^2 \quad t^3] \begin{pmatrix} 1 \cdot C_0 \\ -3 C_0 + 3 C_1 \\ 3 C_0 - 6 C_1 + 3 C_2 \\ -1 C_0 - 3 C_1 + 3 C_2 - 1 C_3 \end{pmatrix} \\ &= C_0 + (-3 C_0 + 3 C_1) t + (3 C_0 - 6 C_1 + 3 C_2) t^2 + (-C_0 - 3 C_1 + 3 C_2 - 1 C_3) t^3. \end{aligned}$$

...die Standardform.

Bézier-Kurve

Matrixform

Berechnung von Kontrollpunkten aus Koeffizienten der Standardform:

Wir setzen $B = \begin{pmatrix} 1 & 0 & 0 & 0 \\ -3 & 3 & 0 & 0 \\ 3 & -6 & 3 & 0 \\ -1 & 3 & -3 & 1 \end{pmatrix}$ und betrachten die Parametrisierung einer kubischen Kurve in Standardform

$$\mathbf{f}(t) = [1 \quad t \quad t^2 \quad t^3] \cdot \begin{pmatrix} A_0 \\ A_1 \\ A_2 \\ A_3 \end{pmatrix}.$$

Durch Vergleich mit der Bézierform

$$\mathbf{f}(t) = (1 \quad t \quad t^2 \quad t^3) \cdot B \cdot \begin{pmatrix} C_0 \\ C_1 \\ C_2 \\ C_3 \end{pmatrix}$$

erhalten wir die Gleichung

$$B \cdot \begin{pmatrix} C_0 \\ C_1 \\ C_2 \\ C_3 \end{pmatrix} = \begin{pmatrix} A_0 \\ A_1 \\ A_2 \\ A_3 \end{pmatrix}.$$

Daraus folgt

$$\begin{pmatrix} C_0 \\ C_1 \\ C_2 \\ C_3 \end{pmatrix} = B^{-1} \cdot \begin{pmatrix} A_0 \\ A_1 \\ A_2 \\ A_3 \end{pmatrix}.$$

Fazit:

Wir können die Bézierkontrollpunkte C_k durch Anwendung der Matrix $B^{-1} = \begin{pmatrix} 1 & 0 & 0 & 0 \\ 1 & \frac{1}{3} & 0 & 0 \\ 1 & \frac{2}{3} & \frac{1}{3} & 0 \\ 1 & 1 & 1 & 1 \end{pmatrix}$ auf die Standardkontrollpunkte A_k erhalten.

Bézier-Kurve

Matrixform

Beispiel zur Berechnung von Kontrollpunkten:

Wir wenden den Ausdruck

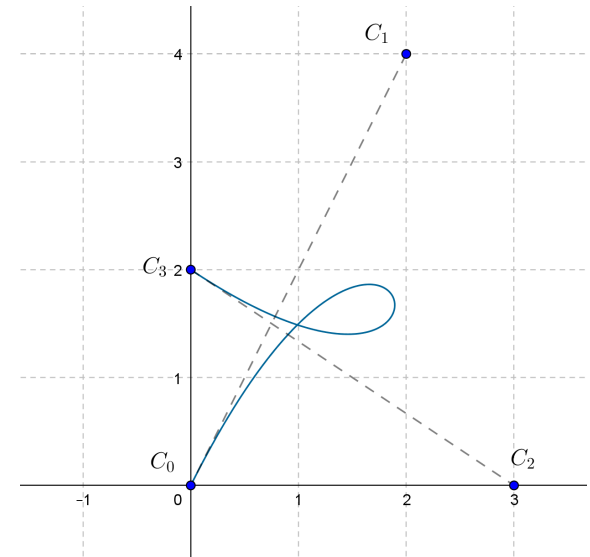
$$\begin{pmatrix} C_0 \\ C_1 \\ C_2 \\ C_3 \end{pmatrix} = B^{-1} \cdot \begin{pmatrix} A_0 \\ A_1 \\ A_2 \\ A_3 \end{pmatrix} = \begin{pmatrix} 1 & 0 & 0 & 0 \\ 1 & \frac{1}{3} & 0 & 0 \\ 1 & \frac{2}{3} & \frac{1}{3} & 0 \\ 1 & 1 & 1 & 1 \end{pmatrix} \cdot \begin{pmatrix} A_0 \\ A_1 \\ A_2 \\ A_3 \end{pmatrix}$$
$$= \begin{pmatrix} A_0 \\ A_0 + \frac{1}{3} A_1 \\ A_0 + \frac{2}{3} A_1 + \frac{1}{3} A_2 \\ A_0 + A_1 + A_2 + A_3 \end{pmatrix}$$

auf das Beispiel von Folie 32 mit

$$\mathbf{f}(t) = \begin{pmatrix} 6t - 3t^2 - 3t^3 \\ 12t - 24t^2 + 14t^3 \end{pmatrix} = \begin{pmatrix} 0 \\ 0 \end{pmatrix} 1 + \begin{pmatrix} 6 \\ 12 \end{pmatrix} t + \begin{pmatrix} -3 \\ -24 \end{pmatrix} t^2 + \begin{pmatrix} -3 \\ 14 \end{pmatrix} t^3$$

und somit $A_0 = \begin{pmatrix} 0 \\ 0 \end{pmatrix}$, $A_1 = \begin{pmatrix} 6 \\ 12 \end{pmatrix}$, $A_2 = \begin{pmatrix} -3 \\ -24 \end{pmatrix}$ und $A_3 = \begin{pmatrix} -3 \\ 14 \end{pmatrix}$ an:

$$C_0 = \begin{pmatrix} 0 \\ 0 \end{pmatrix}, C_1 = \begin{pmatrix} 2 \\ 4 \end{pmatrix}, C_2 = \begin{pmatrix} 3 \\ 0 \end{pmatrix}, C_3 = \begin{pmatrix} 0 \\ 2 \end{pmatrix}.$$



Bézier-Kurven

Erste Ableitung

$$\mathbf{f}(t) = (1 - 3t + 3t^2 - t^3)C_0 + (3t - 6t^2 + 3t^3)C_1 + (3t^2 - 3t^3)C_2 + t^3C_3$$

$$\mathbf{f}'(t) = (-3 + 6t - 3t^2)C_0 + (3 - 12t + 9t^2)C_1 + (6t - 9t^2)C_2 + 3t^2C_3$$

Hörsaalübung

- Berechnen Sie $\mathbf{f}'(0)$ (d.h. die erste Ableitung am Anfang der Kurve)
- Berechnen Sie $\mathbf{f}'(1)$ (d.h. die erste Ableitung am Ende der Kurve)
- Was bedeutet das Ergebnis?

Bézier-Kurven

Erste Ableitung

Zusammenfassung:

- Die erste Ableitung ist ein **Vektor**.
- Dieser Vektor ist tangential zur Kurve.
- Interpretation als Geschwindigkeitsvektor, vgl. Folie 26.
- Die Länge des Ableitungsvektors ist umso größer je schneller die Bewegung entlang der Kurve ist.
- $\mathbf{f}'(0) = 3(C_1 - C_0) = 3 \overrightarrow{C_0 C_1}$ und $\mathbf{f}'(1) = 3(C_3 - C_2) = 3 \overrightarrow{C_2 C_3}$ bedeuten, dass die Kurve in ihren Endpunkten tangential zum Kontrollpolygon verläuft.

Bézier-Kurven

Zweite Ableitung

$$\mathbf{f}(t) = (1 - 3t + 3t^2 - t^3)C_0 + (3t - 6t^2 + 3t^3)C_1 + (3t^2 - 3t^3)C_2 + t^3C_3$$

$$\mathbf{f}'(t) = (-3 + 6t - 3t^2)C_0 + (3 - 12t + 9t^2)C_1 + (6t - 9t^2)C_2 + 3t^2C_3$$

$$\mathbf{f}''(t) = (6 - 6t)C_0 + (-12 + 18t)C_1 + (6 - 18t)C_2 + 6tC_3$$

Hörsaalübung

- Berechnen Sie $\mathbf{f}''(0)$ (d.h. die zweite Ableitung am Anfang der Kurve)
- Berechnen Sie $\mathbf{f}''(1)$ (d.h. die zweite Ableitung am Ende der Kurve)
- Was bedeutet das Ergebnis?

Zusammenfassung

- Die zweite Ableitung kann man als Beschleunigung beim Durchlauf der Kurve interpretieren, vgl. Folie 26.
- $\mathbf{f}''(0) = 6 (C_0 - 2C_1 + C_2)$: zweite Ableitung am Anfang ist bestimmt durch die ersten 3 Kontrollpunkte
- $\mathbf{f}''(1) = 6 (C_3 - 2C_2 + C_1)$: zweite Ableitung am Ende ist bestimmt durch die letzten 3 Kontrollpunkte
- Die zweite Ableitung ist auch ein **Vektor**:
$$\mathbf{f}''(0) = 6 (C_0 - C_1 - C_1 + C_2) = 6 (C_0 - C_1 + C_2 - C_1) = 6 (\overrightarrow{C_1 C_0} + \overrightarrow{C_1 C_2})$$
- Sie spielt bei der Krümmung der Kurve eine Rolle:
 - Die zweite Ableitung repräsentiert die Änderungsrate der Geschwindigkeitsvektoren
 - Ist eine Kurve stark gekrümmt so weichen die aufeinanderfolgende Tangentenvektoren stark voneinander ab.

Bézier-Splines: zusammengesetzte Kurven

Stetigkeitsbedingungen

Beschreibung realer Formen

- Eine einzige Bézier-Kurve reicht für die Beschreibung komplexer Formen nicht aus.
- Bezierkurven werden aneinandergehängt, so daß ein glatter Übergang entsteht.
- Mathematisch wird die Glattheit über die Stetigkeit (engl.: continuity) definiert:
 - C^0 -Stetigkeit bzgl. des Ortes
 - C^1 -Stetigkeit bzgl. der ersten Ableitung (Geschwindigkeitsvektoren sind gleich)
 - C^2 -Stetigkeit bzgl. der zweiten Ableitung (Beschleunigungsvektoren sind gleich)
- Besonders wenn die Kurve eine Bewegung darstellen soll, ist C^1 - und C^2 -Stetigkeit wichtig.

Bézier-Splines: zusammengesetzte Kurven

Beispiel: C^0 -Stetigkeit

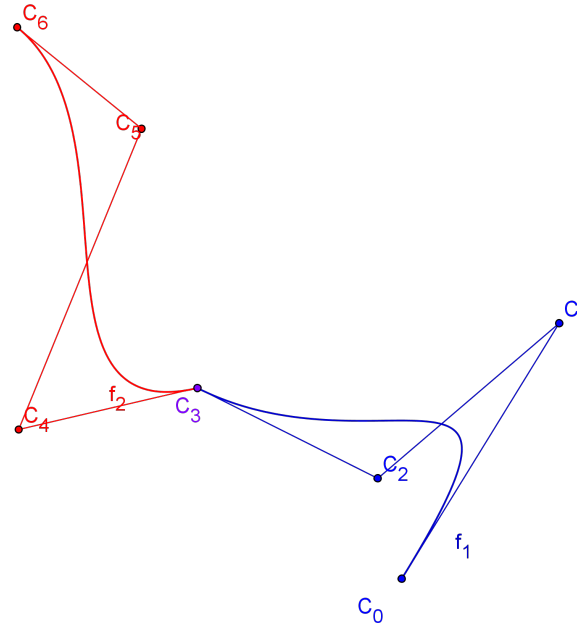


Abbildung: Die zwei Bézier-Kurven f_1 (blau) und f_2 (rot) sind C^0 -stetig: der letzte Kontrollpunkt C_3 (lila = rot + blau) von f_1 ist zugleich erster Kontrollpunkt von f_2 , der Übergang weist aber einen Knick auf. Das heißt, das keine C^1 -Stetigkeit vorliegt.

Bézier-Splines: zusammengesetzte Kurven

Beispiel: C^1 -Stetigkeit

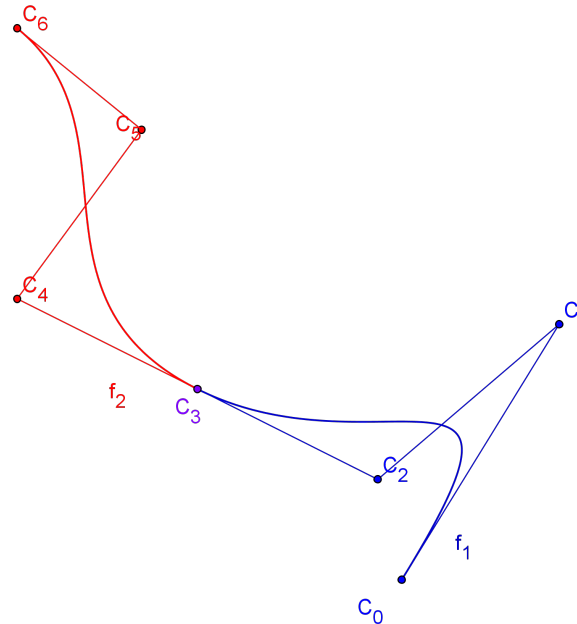


Abbildung: Die zwei Bézier-Kurven f_1 (blau) und f_2 (rot) sind C^1 -stetig: Tangentenvektor am Ende von f_1 ist im Betrag und Richtung gleich dem Tangentenvektor am Anfang von f_2 : $\overrightarrow{C_2 C_3} = \overrightarrow{C_3 C_4}$. (C^2 -Stetigkeit besteht nicht, s. nächste Folie)

Bézier-Splines: zusammengesetzte Kurven

Beispiel: C^1 -Stetigkeit mit eingezeichneten Beschleunigungsvektoren

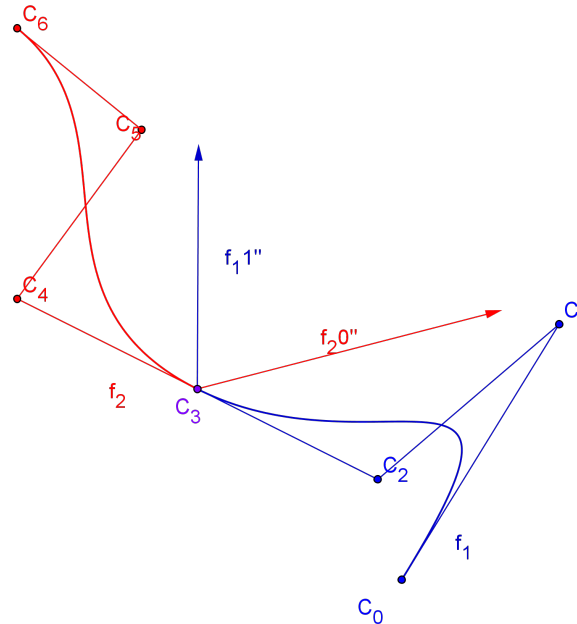


Abbildung: Die zwei Bézier-Kurven f_1 (blau) und f_2 (rot) sind C^1 -stetig: Tangentenvektor am Ende von f_1 ist im Betrag und Richtung gleich dem Tangentenvektor am Anfang von f_2 : $\overrightarrow{C_2C_3} = \overrightarrow{C_3C_4}$.

Dagegen besteht keine C^2 -Stetigkeit, da die Beschleunigungsvektoren an der Nahtstelle nicht übereinstimmen: $f_1''(1) \neq f_2''(0)$.

Bézier-Splines: zusammengesetzte Kurven

Beispiel: C^2 -Stetigkeit mit eingezeichneten Beschleunigungsvektoren

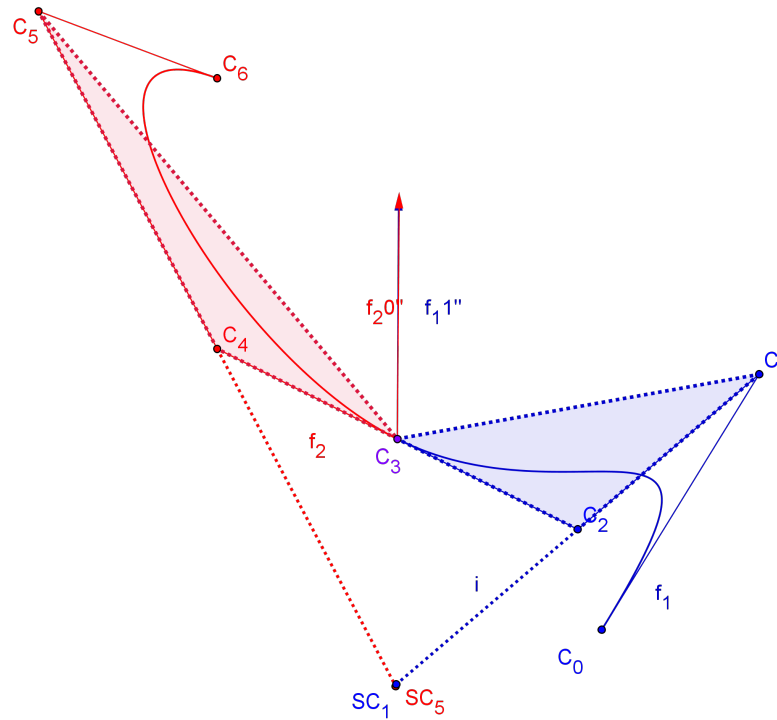


Abbildung: Die zwei Bézier-Kurven f_1 (blau) und f_2 (rot) sind C^1 -stetig: Tangentenvektor am Ende von f_1 ist im Betrag und Richtung gleich dem Tangentenvektor am Anfang von f_2 : $\overrightarrow{C_2C_3} = \overrightarrow{C_3C_4}$.

C^2 -Stetigkeit besteht ebenfalls, da die Beschleunigungsvektoren an der Nahtstelle übereinstimmen.

Bézier-Splines: zusammengesetzte Kurven

Beispiel: C^2 -Stetigkeit mit eingezeichneten Beschleunigungsvektoren

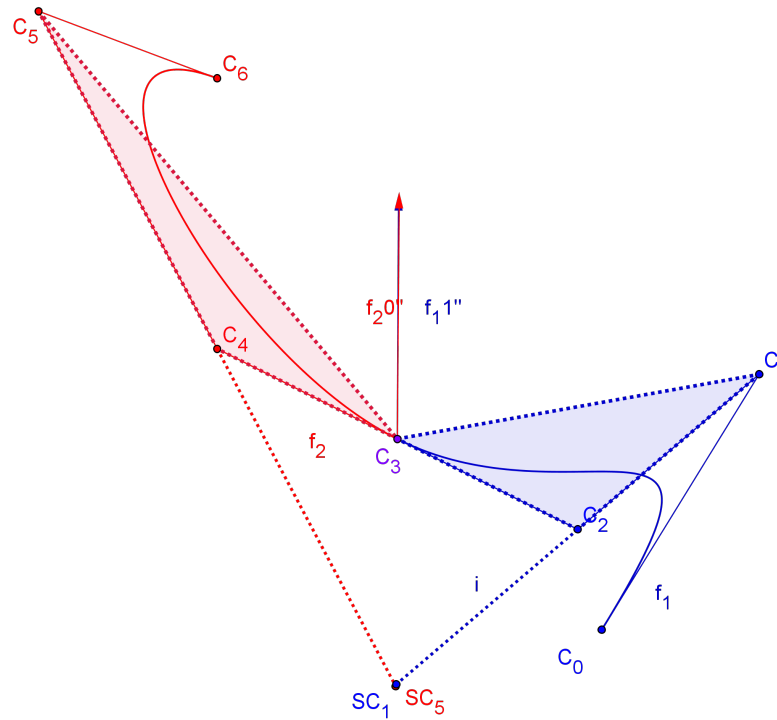


Abbildung: Um C^2 -Stetigkeit zu erreichen, müssen die Spiegelpunkte übereinstimmen:
 $SC_1 = SC_5$:

SC_1 entsteht durch Spiegelung von C_1 am Punkt C_2 . SC_5 ist der Spiegelpunkt von C_5 bzgl. C_4 . (Beweis siehe Folie 57).

Demo: [BezierSplinesStetigkeitAnimation.ggb](#)

Bézier-Splines: zusammengesetzte Kurven

Beispiel: Geometrische Stetigkeit erster Ordnung: G^1 -Stetigkeit

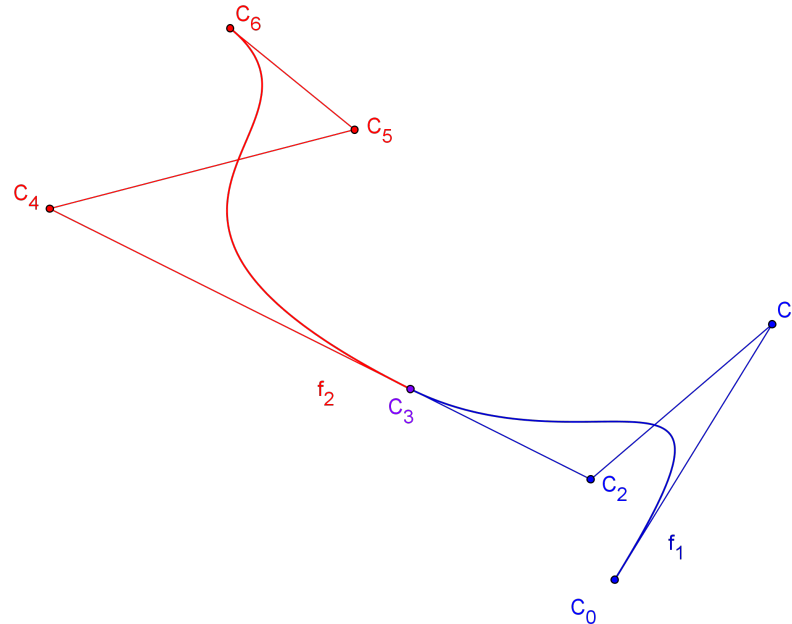


Abbildung: Die zwei Bézier-Kurven f_1 (blau) und f_2 (rot) sind G^1 -stetig aber nicht C^1 -stetig: Tangentenvektor am Ende von f_1 ist nur in der Richtung gleich dem Tangentenvektor am Anfang von f_2 : $\overrightarrow{C_2C_3} = k \overrightarrow{C_3C_4}$. Diese Form der Stetigkeit reicht vollkommen aus, wenn die Kurve **geometrisch** glatt sein soll und nicht gefordert wird, dass eine glatte Bewegung zu- grundeliegen soll.

Bézier-Splines: zusammengesetzte Kurven

Kriterium für Übereinstimmung der Beschleunigungsvektoren an der Anschluss-Stelle

Beweis

Wenn C_2 -Stetigkeit vorliegt, so gilt $f_1''(1) = f_2''(1)$, d.h.

$$6 (C_3 - 2 C_2 + C_1) = 6 (C_3 - 2 C_4 + C_5).$$

Nach Vereinfachung ergibt sich $-2 C_2 + C_1 = -2 C_4 + C_5$ und nach Multiplikation mit -1 haben wir

$$2 C_2 - C_1 = 2 C_4 - C_5$$

$$\rightsquigarrow C_2 - (C_1 - C_2) = C_4 - (C_5 - C_4).$$

Es ist nun aber $C_2 - (C_1 - C_2)$ der Punkt, der sich ergibt, wenn C_1 am Punkt C_2 gespiegelt wird. Andererseits ist $C_4 - (C_5 - C_4)$ der Punkt, der sich durch Spiegelung von C_5 am Punkt C_4 ergibt.

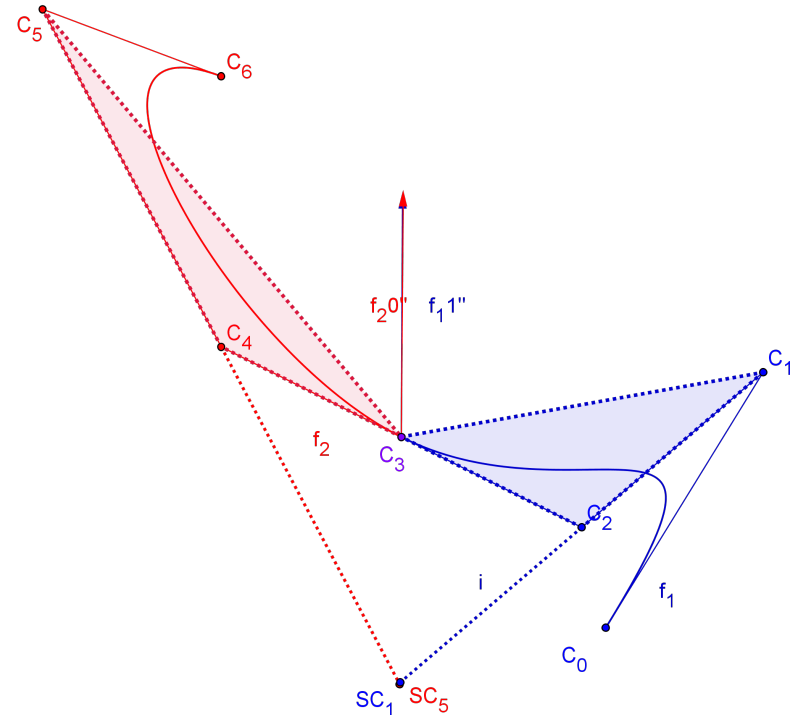


Abbildung: $SC_1 = SC_5$. SC_1 entsteht durch Spiegelung von C_1 am Punkt C_2 . SC_5 ist der Spiegelpunkt von C_5 bzgl. C_4 .

Bézier-Splines: zusammengesetzte Kurven

Kriterium für Übereinstimmung der Beschleunigungsvektoren an der Anschluss-Stelle

Bemerkung

Der Beweis zeigt, dass die Bedingung für Übereinstimmung der Beschleunigungsvektoren unabhängig von der Bedingung für die Übereinstimmung der Geschwindigkeitsvektoren ist.